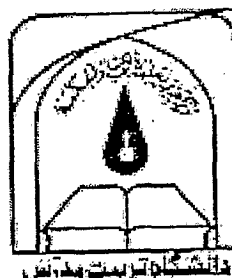


بِسْمِ اللَّهِ الرَّحْمَنِ الرَّحِيمِ

١٠٧٥٦

١٠٧٥٧

٤٢٨٧



دانشگاه کشاورزی پدر ارض

دانشکده کشاورزی

(ساله دکتری (شته سازهای آبی

مدل ریاضی سه بعدی انتقال رسوب معلق با استفاده از مدل دو بعدی
هیدرودینامیکی و روش تصویری در پیچ های سینوسی رودخانه ای

اساتید راهنمای:

دکتر سید علی ایوبزاده

دکتر مسحود منتظری نمین

استاد مشاور:

دکتر جمال محمد ولی سامانی

نگارنده:

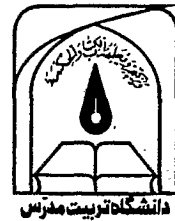
محمد مهدی احمدی

فرداد پ

۸۷۷۷



۱۵/۰۵/۲۰۱۶



آیین نامه چاپ پایان نامه (رساله) های دانشجویان دانشگاه تربیت مدرس

نظر به اینکه چاپ و انتشار پایان نامه (رساله) های تحصیلی دانشجویان دانشگاه تربیت مدرس، مبین بخشی از فعالیت‌های علمی-پژوهشی دانشگاه است بنابراین به منظور آگاهی و رعایت حقوق دانشگاه، دانش آموختگان این دانشگاه نسبت به رعایت موارد ذیل متعهد می‌شوند:

ماده ۱ در صورت اقدام به چاپ پایان نامه (رساله)ی خود، مراتب را قبلاً به طور کتبی به دفتر نشر آثار علمی دانشگاه اطلاع دهد.

ماده ۲ در صفحه سوم کتاب (پس از برگ شناسنامه)، عبارت ذیل را چاپ کند:

”کتاب حاضر، حاصل رساله دکتری نگارنده در رشته سازه‌های آبی است که در سال ۱۳۸۷ در دانشکده کشاورزی دانشگاه تربیت مدرس به راهنمایی آقایان دکتر سید علی ایوبزاده و دکتر مسعود منتظری نمین و مشاوره جناب آقای دکتر جمال محمدولی سامانی از آن دفاع شده است“

ماده ۳ به منظور جبران بخشی از هزینه‌های انتشارات دانشگاه، تعداد یک درصد شمارگان کتاب (در هر نوبت چاپ) را به دفتر نشر آثار علمی دانشگاه اهدا کند. دانشگاه می‌تواند مازاد نیاز خود را به نفع مرکز نشر در معرض فروش قرار دهد.

ماده ۴ در صورت عدم رعایت ماده ۳، ۵۰٪ بهای شمارگان چاپ شده را به عنوان خسارت به دانشگاه تربیت مدرس تادیه کند.

ماده ۵ دانشجو تعهد و قبول می‌کند در صورت خودداری از پرداخت بهای خسارت، دانشگاه می‌تواند خسارت مذکور را از طریق مراجع قضایی مطالبه و وصول کند، به علاوه به دانشگاه حق می‌دهد به منظور استیفای حقوق خود، از طریق دادگاه معادل وجه مذکور در ماده ۴ را از محل توقيف کتاب‌های عرضه شده نگارنده برای فروش تامین نماید.

ماده ۶ اینجانب محمد مهدی احمدی دانشجوی رشته سازه‌های آبی مقطع دکتری تعهد فوق و ضمانت اجرایی آن را قبول کرده، به آن ملتزم می‌شوم.

نام و نام خانوادگی: محمد مهدی احمدی

تاریخ و امضاء : خرداد ۱۳۸۷

دستورالعمل حق مالکیت مادی و معنوی در مورد نتایج پژوهش‌های علمی دانشگاه تربیت

مدرس

مقدمه: با عنایت به سیاست‌های پژوهشی دانشگاه در راستای تحقق عدالت و کرامت انسان‌ها که لازمه شکوفایی علمی و عملی است و رعایت حقوق مادی و معنوی دانشگاه و پژوهشگران، لازم است اعضای هیات علمی، دانشجویان، دانشآموختگان و دیگر همکاران طرح، در مورد نتایج پژوهش‌های علمی که تحت عنوانین پایان‌نامه، رساله و طرح‌های تحقیقاتی با هماهنگی دانشگاه انجام شده است موارد ذیل را رعایت نمایند:

ماده ۱ - حقوق مادی و معنوی پایان‌نامه‌ها و رساله‌های مصوب دانشگاه متعلق به دانشگاه است و هرگونه بهره‌برداری از آن باید با ذکر نام دانشگاه و رعایت آیین‌نامه‌ها و دستورالعمل‌های مصوب دانشگاه باشد.

ماده ۲ - انتشار مقاله یا مقالات مستخرج از پایان‌نامه / رساله به صورت چاپ در نشریات علمی و یا ارائه در مجتمع علمی می‌باید به نام دانشگاه بوده و استاد راهنما نویسنده مسئول مقاله باشد.

تبصره: در مقالاتی که پس از دانشآموختگی بصورت ترکیبی از اطلاعات جدید و نتایج حاصل از پایان‌نامه / رساله منتشر می‌شود نیز باید نام دانشگاه درج شود.

ماده ۳ - انتشار کتاب حاصل از نتایج پایان‌نامه / رساله و تمامی طرح‌های تحقیقاتی دانشگاه باید با مجوز کتبی صادره از طریق حوزه پژوهشی دانشگاه و بر اساس آیین‌نامه‌های مصوب انجام شود.

ماده ۴ - ثبت اختراع و تدوین دانش فنی و یا ارائه در جشنواره‌های ملی، منطقه‌ای و بین‌المللی که حاصل نتایج مستخرج از پایان‌نامه / رساله و تمامی طرح‌های تحقیقاتی دانشگاه، باید با هماهنگی استاد راهنما یا مجری طرح از طریق حوزه پژوهشی دانشگاه انجام گیرد.

ماده ۵ - این دستورالعمل در ۵ ماده و یک تبصره در تاریخ ۱۳۸۳/۳/۲۵ در شورای پژوهشی دانشگاه به تصویب رسیده و از تاریخ تصویب لازم‌الاجرا است و هرگونه تخلف از مفاد این دستورالعمل، از طریق مراجع قانونی پیگیری خواهد شد.

تقدیم بہ

روح بلند پر،

مادر، کلانقدر،

همسر مهربان

۹

ترجم عزیزم

محمد مهدی احمدی

تقدیر و تشکر

اکنون که به یاری ایزد منان مراحل تحقیق این رساله به اتمام رسیده با امید به قبول این زحمت ناچیز در پیشگاه الهی بر خود لازم می‌دانم از زحمات کسانی که مرا در رسیدن به این مهم یاری نمودند قدردانی نمایم.

در انجام این تحقیق بسیار مدیون زحمات، تلاش‌ها و راهنمایی‌های اساتید راهنمای ارجمند جناب آقای دکتر ایوبزاده و جناب آقای دکتر منتظری نمین و استاد مشاور گرانقدر جناب آقای دکتر سامانی بوده و کمال تشکر و قدردانی را از این اساتید ارجمند دارم.

از اساتید گروه سازه‌های آبی دانشکده کشاورزی دانشگاه تربیت مدرس که در طی دوران تحصیل افتخار شاگردی‌شان را داشته‌ام بویژه جناب آقای دکتر منعم و جناب آقای دکتر باقری که بعنوان اساتید ناظر در دفاع از رساله حضور داشته و دقت نظر و راهنمایی‌شان منجر به اصلاح و بهبود تحقیق گردید تشکر می‌کنم. از جناب آقای دکتر دربندی و استاد محترم دکتر شفاعی که قبول زحمت کرده و بعنوان اساتید ناظر رساله را مطالعه و با یادآوری برخی کاستی‌ها و اشتباهات منجر به هرچه بهتر شدن رساله اینجانب گشت‌اند، کمال امتنان و قدردانی را دارم.

تشکر پاک و صادقانه‌ام را به همسرم به‌خاطر علاقه جدی و تاثیر خلاقش بر فعالیت‌های پژوهشی‌ام، صمیمیت و صبوری‌اش در طی تحصیل‌ام و بی‌دریغ بودنش در تنگناها و سختی‌های زندگی و تحصیلیم تقدیم و از او سپاسگذاری می‌کنم.

در پایان از کسانی تشکر می‌کنم که از ابتدا یار و همراه بودند، از دوستانم که بیدریغ بودند در دردها و شادی‌هاشان، آقایان دکتر کورش قادری، دکتر علیرضا عمادی و سایر دوستانی که بطور مستقیم و غیرمستقیم اینجانب را در طول تحصیل و تحقیق یاری رسانده و نام بزرگشان در این اندک مجال نمی‌گجد سپاسگذارم.

مايلم تشکر ویژه‌ام را به جناب آقای دکتر محسن احمدی که با انجام امور اداری لازم برای با انجام رسیدن دفاع زحمات زیادی را متحمل شده‌اند، ابراز دارم.

با آرزوی موفقیت و توفیق الهی برای همه این عزیزان

محمد مهدی احمدی

تابستان ۱۳۸۷

چکیده

رودخانه‌ها نقش مهمی در عمران جمعیتی، صنعتی، تجارت و بازرگانی و حمل و نقل و دیگر مسایل ایفا می‌کنند. در تاریخ تمدن جوامع انسانی، حاشیه رودخانه‌ها مکان‌های رشد و توسعه جوامع بوده‌اند. امروزه نیز رودخانه‌ها به منزله شاهرگ جوامع قلمداد می‌شوند. رودخانه‌های طبیعی یکی از اصلی‌ترین منابع فراهم کننده آب و انرژی برای انسان بشمار می‌روند که در این میان تامین آب مهمترین نقش اقتصادی رودخانه می‌باشد. بازه‌های پیچان‌رودی (ماندری) رودخانه‌ها بدلیل خصوصیات منحصر‌بفرد هیدرولیکی و رسوبی مورد توجه و استفاده بیشتری قرار دارند. اجرای عملیات حفاظتی دیواره‌ها، جانمایی آبگیرها و برداشت شن و ماسه از بستر رودخانه‌ها بنا به همین خصوصیات در خم‌ها بیشتر اتفاق می‌افتد. شکل سطحی پیچان‌رودها توسط منحنی‌های مختلفی توسط محققین در بررسی‌ها تخمین زده می‌شود. منحنی گسترش‌سینوسی (sine-generated) بهترین تطابق هم‌ترازی را با الگوی هندسی و شکل سطحی پیچان‌رودها در طبیعت دارد و درنظر گرفتن این هندسه در مطالعات پیچان‌رودها باعث افزایش دقت محاسبات خواهد شد. هدف از تحقیق حاضر شبیه‌سازی مولفه‌های سه‌بعدی جریان در خم‌های گسترش‌سینوسی با توسعه یک مدل شبese بعدی هیدرودینامیکی مبتنی بر مدل دو بعدی متوسط عمقی و سپس شبیه‌سازی سه‌بعدی فرآیندهای انتقال بارمعلق، بار بستر و تغییرات تراز بستر در خم‌ها می‌باشد. بنابراین در این تحقیق ابتدا یک مدل دو بعدی متوسط عمقی در مختصات کارتزین توسعه داده شده است. برای گستته سازی معادلات از روش حجم محدود و شبکه staggered استفاده شده و معادلات اصلی با روش تصویری (projection method) حل شده است. با شبیه‌سازی الگوی جریان اطراف آشکن و حرکت موج منفی بالادست دقت و کارایی مدل دو بعدی ارزیابی شده و دقت مدل به اثبات رسیده است. سپس مدل دو بعدی به مختصات منحنی الخط متعدد تبدیل شده و عبارات تنش پراکندگی حاصل از تفاوت سرعت واقعی و سرعت متوسط به معادلات مومنتوم افزوده شده است. با استفاده از نتایج مدل دو بعدی و انتخاب روابط دقیق برای توزیع سرعت درجهات عرض و جهت جریان و حل مجدد معادله پیوستگی سه‌بعدی یک مدل هیدرودینامیکی شب سه‌بعدی ایجاد شده است. در مدل سه‌بعدی رسوبی، معادلات انتقال-پخش سه‌بعدی رسوب برای شبیه‌سازی انتقال بار معلق، معادله انتقال بار بستر غیرتعادلی برای محاسبه نرخ انتقال بار بستر و معادله تعادل جرم رسوب بمنظور محاسبه تغییرات تراز بستر، گستته سازی و حل مجدد معادله پیوستگی سه‌بعدی شبیه‌سازی شده تراز تند و ملایم و یک کanal با هندسه گسترش‌سینوسی با استفاده از مدل دو بعدی شبیه‌سازی شده است. مقایسه تراز سطح آب و سرعت‌های شبیه‌سازی شده و اندازه‌گیری شده در خم ملایم دقت بسیار خوب مدل توسعه داده شده را نشان داد. در خم تند نیز مقایسات حاکی از توانایی مدل دو بعدی در شبیه‌سازی جریان در خم‌ها روی تاثیر عبارات تنش پراکندگی نیز حاکی از تاثیر مثبت استفاده از این عبارات در شبیه‌سازی جریان در خم‌ها بوده است. سه کanal آزمایشگاهی مختلف برای بررسی و صحت سنجی مدل جریان و رسوب شبیه‌سازی شده است. بر اساس نتایج بدست آمده مدل توسعه داده شده در شبیه‌سازی توزیع عمقی رسوب معلق دارای دقت بالای می‌باشد. همچنین بررسی و مقایسات نشان داد که مدل توسعه داده شده می‌تواند تغییرات تراز بستر در خم‌ها را با دقت مطلوبی شبیه‌سازی کند.

کلمات کلیدی : مدل عددی- شبیه‌سازی - ماندر- خم سینوسی- رسوبات معلق- رودخانه

فهرست مطالب

صفحه	عنوان
۹	فهرست جداول
۱۰	فهرست اشکال
۱۱	فهرست نشانه‌ها
	فصل اول : کلیات
۱	۱-۱- مقدمه
۲	۲-۱- طبقه‌بندی رودخانه‌ها
۳	۳-۱- دامنه و محدوده تحقیق
۴	۴-۱-۳-۱- مطالعات قبلی
۵	۵-۲-۳-۱- مدل حاضر
۶	۶-۴-۱- طرح کلی رساله
	فصل دوم : مروری بر مطالعات انجام شده
۶	۶-۱-۲- مقدمه
۷	۷-۲- طبقه‌بندی شکل رودخانه‌های آبرفتی
۷	۷-۳-۲- هیدرولیک جریان و رسوب و وضعیت توپوگرافی رودخانه‌های پیچان‌رودی
۸	۸-۱-۳-۲- جریان ثانویه
۸	۸-۲-۳-۲- جریان در ناحیه میانی
۹	۹-۳-۲- ناحیه دیواره خارجی (Concave or Outer Bank)
۹	۹-۴-۳-۲- ناحیه دیوار داخلی (Inner Bank)
۱۰	۱۰-۴-۳- ۲- هندسه مسیر پیچان‌رود
۱۷	۱۷-۵-۲- مهاجرت و توسعه حلقه‌های پیچان‌رود (Migration and Expansion)
۱۸	۱۸-۶-۲- طبیعت همرفتی (Convective) جریانات پیچان‌رودی
۲۲	۲۲-۷-۲- دینامیک محاسباتی رودخانه‌ای
۲۲	۲۲-۱-۷-۲- روش‌های پیش‌بینی
۲۲	۲۲-۲-۷-۲- روش‌های شبیه سازی
۲۴	۲۴-۱-۲-۷-۲- شبکه بندی

عنوان

صفحه

۲۷	۲-۲-۷-۲- مفهوم گسسته‌سازی
۲۸	۳-۷-۲- روش‌های عددی
۲۹	۴-۷-۲- روش حجم محدود
۳۰	۱-۴-۷-۲- پرسه گسسته‌سازی
۳۱	۲-۴-۷-۲- برآورد شارها در روش حجم محدود
۳۲	۱-۲-۴-۷-۲- شمای مرکزی مرتبه اول
۳۳	۲-۴-۷-۲- شماهای بالادستی (Upwind Scheme)
۳۴	۵-۷-۲- حل دستگاه معادلات جبری
۳۵	۶-۷-۲- تحلیل خطی و دقت ون نیومن
۳۶	۷-۷-۲- خطای فاز
۳۷	۸-۲- مدل‌سازی جریان و رسوب در رودخانه‌ها
۳۸	۱-۸-۲- معادلات مدل یکبعدی
۳۹	۲-۸-۲- معادلات مدل دو بعدی
۴۰	۳-۸-۲- معادلات مدل سه بعدی
۴۱	۹-۲- بستن مدل و روابط جانبی
۴۲	۱-۹-۲- مدل تلاطم
۴۳	۲-۹-۲- زبری کanal
۴۴	۳-۹-۲- طول انطباق غیرتعادلی
۴۵	۴-۹-۲- روابط تخمین ظرفیت حمل رسوب غیرچسبنده
۴۶	۱۰-۲- روش‌های حل جریان با سطح آزاد
۴۷	۱-۱۰-۲- جریانات یکبعدی
۴۸	۲-۱۰-۲- حل عددی معادلات ناویر-استوکس
۴۹	۱-۲-۱۰-۲- روش MAC در شبکه staggered
۵۰	۲-۲-۱۰-۲- روش Projection در شبکه staggered
۵۱	۳-۲-۱۰-۲- الگوریتم SIMPLE در شبکه staggered
۵۲	۱۱-۲- برخی مدل‌های مهم توسعه یافته برای مطالعات هیدرودینامیک و رسوب
۵۳	۱۲-۲- توزیع سرعت در خم
۵۴	۱-۱۲-۲- توزیع سرعت در جهت جریان

عنوان

صفحه

۵۰	- توزیع سرعت در جهت عرضی
۵۰	- بستر صاف (Smooth)
۵۱۳	- بستر زبر (Rough)
۵۶	- تحقیقات انجام شده در رابطه با شبیه‌سازی جزیان و رسوب در خمها

فصل سوم : روش انجام تحقیق

۸۶	- مقدمه
۸۶	- توسعه مدل ریاضی
۸۶	- روابط مدل دو بعدی هیدرودینامیکی
۸۸	- مدل تلاطم
۸۸	- عبارات تنش پراکندگی (Dispersion Terms)
۹۰	- مدل سه بعدی حمل رسوب
۹۰	- روابط انتقال رسوب معلق
۹۱	- روابط انتقال بار بستر
۹۱	- روابط تغییرات تراز بستر
۹۲	- روابط تجربی
۹۲	- غلظت تعادلی نزدیک بستر در تراز مبنا
۹۳	- نرخ انتقال رسوب بستر تعادلی
۹۴	- طول انطباق غیرتعادلی
۹۴	- سرعت سقوط ذره (Fall velocity)
۹۴	- شارهای تهشینی و ورود
۹۴	- کسینوس‌های جهت حرکت ذرات بستر
۹۵	- time splitting روش
۹۴	- حل معادله انتقال - پخش
۹۴	- حل معادله انتقال
۹۸	- Backward روش
۹۸	- Lax-Wendroff روش
۹۹	- Fromm روش

عنوان

صفحه

۱۰۰	۳-۴-۱-۴-۳- محاسبه Amplification Factor روش‌های حل معادله انتقال
۱۰۰	۳-۴-۱-۴-۳- بررسی عملی روش‌های حل معادله انتقال
۱۰۱	۳-۴-۱-۶-۶- تعیین شرایط اولیه حل
۱۰۱	۳-۴-۷-۱-۴-۳- روش حل مسئله
۱۰۶	۳-۴-۸- انتخاب روش مناسب برای حل ترم انتقال
۱۱۰	۳-۴-۲-۲- حل معادله پخش
۱۱۰	۳-۴-۲-۱- شرایط مرزی برای حل ترم پخش
۱۱۱	۳-۴-۲-۲- حل پخش بصورت ضمنی
۱۱۳	۳-۵-۵- توسعه مدل دوبعدی متوسط عمقی در مختصات کارتزین
۱۱۴	۳-۵-۱- مرحله اول
۱۱۴	۳-۵-۱-۱- ترم‌های انتقال-پخش
۱۱۴	۳-۵-۲-۱- ترم زبری
۱۱۵	۳-۵-۳-۱- ترم‌های پراکندگی
۱۱۶	۳-۵-۴-۱- ترم مربوط به تاثیر نیروی کورلیوس
۱۱۶	۳-۵-۲- مرحله دوم
۱۱۷	۳-۵-۱-۲- الگوریتم عددی حل معادلات (۳-۳) تا (۹۱-۳)
۱۱۷	۳-۵-۲-۲- محاسبه $Z_s^{n+1/2}$
۱۱۹	۳-۵-۳-۲- محاسبه Z_s^{n+1}
۱۲۰	۳-۵-۴-۲- محاسبه مقادیر p^{n+1}, q^{n+1}
۱۲۰	۳-۵-۳- بررسی کارایی مدل دوبعدی متوسط عمقی
۱۲۰	۳-۵-۱- شبهه‌سازی الگوی جریان اطراف آبشکن
۱۲۴	۳-۵-۲- شبهه‌سازی حرکت موج منفی بالادست
۱۲۵	۳-۶- توسعه مدل دوبعدی متوسط عمقی در مختصات منحنی الخط متعامد
۱۲۵	۳-۶-۱- سیستم مختصات منحنی الخط متعامد
۱۲۵	۳-۶-۲- ضرایب متربیک
۱۲۷	۳-۶-۳- تبدیل معادلات به سیستم (s, n, z)
۱۲۹	۳-۶-۴- حل معادلات جریان در سیستم منحنی الخط متعامد
۱۲۹	۳-۷- توسعه مدل شبکه سه‌بعدی

صفحه	عنوان
۱۳۰	۸-۳- توسعه مدل انتقال رسوب
۱۳۰	۱-۸-۳- انتقال بار معلق
۱۳۰	۱-۸-۳- شرایط مرزی حل معادله انتقال-پخش رسوب معلق
۱۳۱	۲-۱-۸-۳- ضریب پخشیدگی رسوب
۱۳۲	۲-۸-۳- انتقال بار بستر
۱۳۳	۳-۸-۳- محاسبه تغییرات تراز بستر
۱۳۴	۹-۳- مراتب محاسبات
۱۳۴	۱۰-۳- الگوریتم و نحوه عملکرد کد برنامه
۱۳۹	۱۱-۳- نتیجه‌گیری
 فصل چهارم : نتایج و بحث	
۱۴۲	۱-۴- مقدمه
۱۴۲	۴- شبهه سازی دو بعدی جریان در خم
۱۴۳	۱-۲-۴- شبهه سازی جریان در خم ملایم
۱۵۱	۲-۲-۴- شبهه سازی جریان در خم تند
۱۵۹	۳-۲-۴- بررسی عبارات پراکنده‌ی
۱۶۰	۴-۲-۴- شبهه سازی جریان در کانال گسترش سینوسی
۱۶۵	۴- شبهه سازی سه بعدی جریان در خم
۱۷۵	۴-۵- شبهه سازی انتقال غلظت معلق
۱۷۵	۱-۵-۴- ورود خالص از بستر سست
۱۷۷	۴-۲-۵- آزمایش انتقال رسوب معلق با شار تهشیینی خالص
۱۷۹	۶-۴- شبهه سازی تغییرات تراز بستر
 فصل پنجم : نتیجه‌گیری و پیشنهادات	
۱۸۷	۱-۵- بحث
۱۹۰	۲-۵- پیشنهادات
۱۹۱	فهرست منابع

فهرست نشانه‌ها

a	تراز مرجع بالای بستر میانگین
B	عرض رودخانه
C_{ch}	ضریب شزی
\bar{C}	غلظت رسوب متوسط عمقی
$D_{uv}, D_{uu}, D_{vv}, D_{uu}$	عبارات تنش پراکندگی
D_b	نرخ تنهشینی رسوب
D_s	پارامتر اندازه ذره
d_{90}	قطر ذره رسوبی
d_{50}	قطر متوسط ذرات رسوبی
E_b	نرخ ورود رسوب
g	شتاب ثقل
h	عمق
L_s	طول انطباق غیرتعادلی
n	معرف گام زمان
n_m	ضریب زبری مانینگ
p'	تخلخل مواد بستر
q_b	بار رسوب بستر واقعی
q_{bs}	بار رسوب بستر تعادلی
q_s	بار رسوب معلق
q_T	بار کل رسوب
R_b	شعاع هیدرولیکی
R_c	شعاع انحنا خم
R_i	شعاع انحنا دیواره داخلی خم
R_o	شعاع انحنا دیواره خارجی خم
T	تنش برشی مازاد بدون بعد بستر
t	زمان
U	سرعت جریان
u	جزء سرعت در جهت جریان
v	جزء سرعت در جهت عرضی
w	جزء سرعت در جهت عمودی
\bar{u}	سرعت متوسط عمقی در جهت جریان
\bar{v}	سرعت متوسط عمقی در جهت عرضی
U_m	سرعت متوسط جریان
X	محور افقی مختصات دستگاه کارتزین

- Y: محور عمودی مختصات دستگاه کارتزین
 z_s : تراز سطح آب
 z_b : تراز بستر
 α_{bx}, α_{by} : کسینوس های جهت جریان
 Ω : ضریب کورلیوس
 γ : ضریب ویسکوزیته ادی
 k : فاصله بدون بعد از بستر کanal
 δ_b : ضخامت لایه بار بستر
 δ_{fr} : دلتای کرونکر
 λ : طول فرم بستر
 Δ : ارتفاع فرم بستر
 ψ : نسبت ارتفاع به طول فرم بستر
 β : زاویه تنش برشی بستر
 S_f : فاکتور شکل ذرات رسوبی
 k_s : ارتفاع زیری معادل بستر رودخانه
 z' : فاصله نرمال از بستر
 σ_c : عدد تلاطم اشمیت
 ω_s : سرعت سقوط ذره
 K : ثابت ون کارمن
 ζ : محور مختصات دستگاه منحنی الخط متعامد
 η : محور مختصات دستگاه منحنی الخط متعامد
 σ_g : انحراف معیار رسوبات

فهرست جداول

صفحه

عنوان

۲۲	جدول(۱-۲) : مزایا و معایب روش‌های عددی
۳۹	جدول(۲-۲) : برخی از معادلات انتقال بار بستر
۱۴۷	جدول(۳-۲) : برخی از مدل‌های هیدرودینامیک و رسوب
۵۶	جدول(۴-۲) : نتایج بررسی‌های آزمایشگاهی انجام شده توسط محققین مختلف در خم کانال‌ها
۵۹	جدول(۵-۲) : مشخصات آزمایشات انجام شده توسط در مرکز مهندسی هیدرولیک و هیدرولوژی USSR
۶۹	جدول(۶-۲) : حالت‌های شبیه‌سازی شده توسط هسیه و یانگ
۷۱۳	جدول(۷-۲) : هندسه کانال و مشخصه‌های جریان در کانال‌های آزمایشگاهی
۱۲۶	جدول(۱-۳) : ضرایب متریک
۱۴۳	جدول(۱-۴) : هندسه کانال‌ها و پارامترهای جریان کانال‌های شبیه‌سازی شده
۱۵۰	جدول(۲-۴) : حداقل و میانگین تفاوت نسبی بین مدل‌ها و نتایج آزمایشگاهی کانال دوریند
۱۵۸	جدول(۳-۴) : حداقل و میانگین تفاوت نسبی بین مدل‌ها و نتایج آزمایشگاهی کانال رزوفسکی

فهرست اشکال

صفحه	عنوان
۳	شکل (۱-۱) : کنترل‌ها در مورفولوژی خم رودخانه‌ها
۷	شکل (۱-۲) : مقطع عرضی یک رودخانه پیچان‌رودی طبیعی
۹	شکل (۲-۱) : جریان روی bar Point. شتاب انتقالی باعث افزایش شیب سطح آب پایین دست در دیواره خارجی و افزایش در دیواره داخلی می‌شود
۱۰	شکل (۳-۱) : توسعه جریان ثانویه در خم رودخانه
۱۱	شکل (۴-۱) : الگوهای توزیع سه‌بعدی جریان در پیچان‌رود
۱۲	شکل (۵-۱) : تعریف نام‌ها و نشانه‌ها در پیچان‌رود رودخانه
۱۳	شکل (۶-۱) شکل سطحی خم گسترش سینوسی و تعریف پارامترهای خم
۱۴	شکل (۷-۱) : ژئومتری سطحی پیچان‌رود
۱۵	شکل (۸-۱) : خصوصیات رودخانه‌های پیچان‌رودی
۱۶	شکل (۹-۱) : ژئومتری تجربی پیچان‌رودها
۱۷	شکل (۱۰-۱) : ژئومتری تجربی پیچان‌رودها
۱۹	شکل (۱۱-۱) : الگوی جریان و الگوهای فرسایش-تجمع رسواب در پیچان‌رودهای ملایم و تند
۱۹	شکل (۱۲-۱) : توزیع $\frac{\bar{W}_c}{(\bar{W}_c)_{\max}}$ در امتداد $L_c / L_c = \frac{1}{2}$
۲۱	شکل (۱۳-۱) : الگو و بردارهای جابجایی موضعی از مهاجرت و توسعه حلقه
۲۳	شکل (۱۴-۱) روش‌های تخمین
۲۵	شکل (۱۵-۱) : شبکه با ساختمان در میدان جریان حول یک آبشکن در کanal مستقیم
۲۵	شکل (۱۶-۱) : شبکه بی‌ساختمان در میدان جریان حول پایه پل در کanal مستقیم
۲۶	شکل (۱۷-۱) : شبکه کارتزین برای میدان جریان در یک خم رودخانه-میدان جریان غیرمستطیلی
۲۷	شکل (۱۸-۱) : تخمین معادله دیفرانسیل با استفاده از گستته‌سازی و حل آن
۲۸	شکل (۱۹-۱) : زیرمیدان‌ها در روش‌های المان محدود و تفاضل‌های محدود
۳۰	شکل (۲۰-۱) : شبکه حجم محدود (الف) cell-centered، (ب) cell-vertex
۳۱	شکل (۲۱-۱) : برآورد شارها برای شماهای cell-centred کارتزینی دو بعدی
۳۲	شکل (۲۲-۱) : شماهی بالادستی برای محاسبه شارها
۳۶	شکل (۲۳-۱) : وضعیت جریان و انتقال رسواب
۴۵	شکل (۲۴-۱) : شبکه Staggered MAC در روش

صفحه	عنوان
۱۴۸	شکل (۲۵-۲) : شمایی از کanal و توزیع‌های سرعت در خم
۵۱	شکل (۲۶-۲) گراف توابع ζ , $F_1(\zeta)$, $F_2(\zeta)$
۵۲	شکل (۲۷-۲) : توزیع‌های سرعت عرضی برای مقادیر مختلف ضریب شزی
۵۳	شکل (۲۸-۲) : گراف محاسبه تابع $f\left(\frac{KC}{\sqrt{g}}\right)$
۵۴	شکل (۲۹-۲) : توزیع‌های سرعت عرضی "U" برای بستر زبر
۶۰	شکل (۳۰-۲) بردارهای سرعت در عرض کanal آزمایشگاهی دوریند و کج
۶۱	شکل (۳۱-۲) نسبت سرعت متوسط عمقی به سرعت متوسط کل جریان شبیه‌سازی شده در عرض بدون بعد کanal برای کanal دوریند و کج
۶۲	شکل (۳۲-۲) توزیع سرعت شبیه‌سازی شده کanal آزمایشگاهی رزوفسکی
۶۳	شکل (۳۳-۲) توزیع سرعت شبیه‌سازی شده کanal آزمایشگاهی رزوفسکی
۶۵	شکل (۳۴-۲) : محاسبه ورود خالص از بستر فرسایش پذیر - پروفیل‌های غلظت بار معلق محاسبه شده و برداشت شده
۶۶	شکل (۳۵-۲) : محاسبه تهنشینی خالص پروفیل‌های غلظت بار معلق محاسبه شده و برداشت شده
۶۷	شکل (۳۶-۲) : بردارهای (a) محاسبه شده سرعت جریان ثانویه و (b) خطوط هم‌سرعت در جهت جریان در مقاطع مختلف خم
۶۸	شکل (۳۷-۲) : خطوط هم عمق (a) برداشت شده و (b) محاسبه شده
۶۹	شکل (۳۸-۲) : پروفیل‌های عرضی بستر در خم
۷۰	شکل (۳۹-۲) : تغییرات $MAXU^*$ بر حسب تابعی از SI در θ های مختلف
۷۱	شکل (۴۰-۲) : تغییرات $MAXU^*$ بر حسب تابعی از SI در θ های مختلف
۷۲	شکل (۴۱-۲) : تغییرات $MAXU^*$ بر حسب تابعی از SI در θ های مختلف
۷۴	شکل (۴۲-۲) : ترازهای بستر و سطح آب در آزمایشات سیل و همکاران (a) بعد از ۱۶/۸ ساعت، (b) بعد از ۳۲/۴ ساعت
۷۵	شکل (۴۳-۲) : اعمق فرسایش شبیه‌سازی شده و اندازه‌گیری شده در آزمایشات آشیدا و میچیوز
۷۵	شکل (۴۴-۲) : مقایسه سرعت‌های آزمایشگاهی دوریند و شبیه‌سازی شده
۷۶	شکل (۴۵-۲) : مقایسه تراز سطح آب آزمایشگاهی دوریند و شبیه‌سازی شده
۷۷	شکل (۴۶-۲) : مقایسه سرعت‌های آزمایشگاهی رزوفسکی و شبیه‌سازی شده
۷۸	شکل (۴۷-۲) : مقایسه تراز سطح آب آزمایشگاهی رزوفسکی و شبیه‌سازی شده
۷۹	(۴۸-۲) بردارهای سرعت حاصل از شبیه‌سازی قسمتی از رودخانه زانگ‌جیانگ

عنوان

صفحه

٧٩	شکل(٤٩-۲) : توزیع‌های سرعت در عرض شبیه‌سازی شده و اندازه‌گیری شده
٨٠	شکل(٥٠-۲) : توزیع‌های غلظت رسوب در عرض
٨١	شکل(٥١-۲) : توزیع‌های غلظت رسوب در عرض
٨٢	شکل(٥٢-۲) : شماتیکی از کانال با شبکه‌بندی غیریکنواخت
٨٣	شکل(٥٣-۲) : مقایسه پروفیل‌های سطح آب محاسبه شده در شبکه غیریکنواخت
٨٤	شکل(٥٤-۲) : شماتیکی از کانال با شبکه‌بندی شکسته
٨٥	شکل(٥٥-۲) : مقایسه پروفیل‌های سطح آب محاسبه شده در شبکه شکسته
٨٧	شکل(١-٣) : دیاگرام مدل توسعه داده شده در تحقیق
٩٠	شکل(٢-٣) : وضعیت میدان جریان
٩٥	شکل(٣-٣) : سلول محاسباتی معادله انتقال-پخش یکبعدی
٩٧	شکل(٤-٣) : سلول‌های حجم کنترل
٩٨	شکل(٥-٣) : توزیع غلظت خطی و ثابت در طول حجم کنترل
٩٩	شکل(٦-٣) : توزیع غلظت در سلول خطی با شبیه سازی
١٠٢	شکل(٧-٣) Amplification factor: روش‌های مختلف به ازای مقادیر متفاوت تعداد گره یا سلول در یک طول موج
١٠٤	شکل(٨-٣) : خطای فاز روش‌های مختلف به ازای مقادیر متفاوت تعداد گره یا سلول در یک طول موج برای اعداد کورانت مختلف
١٠٥	شکل(٩-٣) : میدان جریان، شبکه‌بندی و توزیع غلظت اولیه
١٠٥	شکل(١٠-٣) : سلول محاسباتی شبکه حجم محدود staggered
١٠٧	شکل(١١-٣) : (a) الگوی سه‌بعدی غلظت بعد از ٦٠٠ ثانیه (b) نتیجه بدست آمده از حل جهتمند مرتبه اول پسرو و مقایسه آن با حل تحلیلی
١٠٨	شکل(١٢-٣) : (a) الگوی سه‌بعدی غلظت بعد از ٦٠٠ ثانیه (b) نتیجه بدست آمده از حل Lax-Wendroff و مقایسه آن با حل تحلیلی
١٠٩	شکل(١٣-٣) : (a) الگوی سه‌بعدی غلظت بعد از ٦٠٠ ثانیه (b) نتیجه بدست آمده از حل Fromm و مقایسه آن با حل تحلیلی
١١٤	شکل(١٤-٣) : نتایج حاصل از حل ضمنی پخش برای ضرایب پخش ٠/٠١ و ٠/٠٠١
١١٣	شکل(١٥-٣) : شبکه حجم محدود staggered برای حل معادلات جریان دوبعدی متوسط عمقی
١١٥	شکل(١٦-٣) : روال حل معادلات انتقال-پخش پارامترهای p و q با استفاده از تکنیک time splitting

عنوان	صفحة
شکل(۱۷-۳) : شبکه حجم محدود محاسبه تراز سطح آب	۱۱۷
شکل(۱۸-۳) : دیاگرام محاسبات مدل دوبعدی متوسط عمقی	۱۲۱
شکل(۱۹-۳) : بردارهای سرعت و خطوط جریان در اطراف آبشکن	۱۲۲
شکل(۲۰-۳) : خطوط هم تراز عمق در اطراف آبشکن	۱۲۳
شکل(۲۱-۳) : پروفیل طولی سطح آب در امتداد دیواره مقابل آبشکن	۱۲۴
شکل(۲۲-۳) : پروفیل طولی سطح آب در امتداد دیواره آبشکن	۱۲۵
شکل(۲۳-۳) : حرکت موج منفی بالادست	۱۲۶
شکل(۲۴-۳) : پروفیل تراز سطح آب موج منفی بالادست شبیه‌سازی شده و حاصل از جل تحلیلی	۱۲۷
شکل(۲۵-۳) : تبدیل مختصات فیزیکی به مختصات عمومی	۱۲۸
شکل(۲۶-۳) سیستم مختصات استوانه‌ای و کروی	۱۲۹
شکل(۲۷-۳) : سیستم مختصات (s,n,z)	۱۳۰
شکل(۲۸-۳) : حجم‌های کنترلی در نزدیک بستر و نزدیک سطح آب	۱۳۱
شکل(۲۹-۳) : نتایج آزمایشگاهی کولمان در ارتباط با ضریب پخش رسوب	۱۳۲
شکل(۳۰-۳) : شبکه حجم محدود محاسبه تغیرات تراز بستر	۱۳۳
شکل(۳۱-۳) : دیاگرام مختصات در مدل سه بعدی رسوبی	۱۳۴
شکل(۳۲-۳) : دیاگرام روال محاسبات مدل نهایی و اتصال مدل هیدرودینامیکی و رسوبی	۱۳۵
شکل(۱-۴) : شبکه محاسباتی ایجاد شده برای شبیه‌سازی کanal آزمایشگاهی دوریند	۱۴۱
شکل(۲-۴) : بردارهای سرعت شبیه‌سازی شده کانال دوریند توسط مدل عددی	۱۴۵
شکل(۳-۴) : بردارهای سرعت شبیه‌سازی شده در حدفاصل زاویه 75° تا 105° خم	۱۴۶
شکل(۴-۴) : نسبت‌های سرعت شبیه‌سازی و اندازه‌گیری شده در مقابل عرض بدون بعد کانال برای کانال آزمایشگاهی دوریند	۱۴۷
شکل(۵-۴) : تراز سطح آب شبیه‌سازی شده کانال آزمایشگاهی دوریند	۱۴۸
شکل(۶-۴) : پروفیلهای تراز سطح آب در عرض کانال دوریند در مقاطع مختلف	۱۴۸
شکل(۷-۴) : تراز سطح آب شبیه‌سازی شده با و بدون استفاده از عبارات پراکندگی و تراز سطح آب اندازه‌گیری شده برای کانال آزمایشگاهی دوریند	۱۴۹
شکل(۸-۴) : مقایسه تراز سطح آب شبیه‌سازی شده توسط مدل حاضر، مدل دوبعدی دان و برداشت شده برای کانال آزمایشگاهی دوریند	۱۴۹
شکل(۹-۴) بردارهای سرعت در کانال مستقیم متصل به خروجی خم	۱۵۱

عنوان

صفحة

۱۵۴	شکل(۱۰-۴) : شبکه محاسباتی کanal رزوفسکی
۱۵۳	شکل(۱۱-۴) : بردارهای سرعت شبیه‌سازی شده برای کanal آزمایشگاهی دوریند
۱۵۵	شکل(۱۲-۴) بردارهای سرعت در کanal مستقیم متصل به خروجی خم
۱۵۶	شکل(۱۳-۴) : پروفیل سطح آب از نماهای مختلف در کanal آزمایشگاهی رزوفسکی
۱۵۷	شکل(۱۴-۴) : نمودار سایه‌ای تراز سطح آب و خطوط هم‌تراز سطح آب شبیه‌سازی شده کanal آزمایشگاهی رزوفسکی
۱۵۸	شکل(۱۵-۴) : تراز سطح آب شبیه‌سازی شده با و بدون استفاده از عبارات پراکندگی و تراز سطح آب اندازه‌گیری شده برای کanal آزمایشگاهی رزوفسکی
۱۵۹	شکل(۱۶-۴) : مقایسه تراز سطح آب شبیه‌سازی شده توسط مدل حاضر، مدل دوبعدی دان و برداشت شده برای کanal آزمایشگاهی رزوفسکی
۱۶۰	شکل(۱۷-۴) : تغییرات تنش‌های پراکندگی در امتداد طول بدون بعد کanal حاصل از شبیه‌سازی کanal رزوفسکی
۱۶۱	شکل(۱۸-۴) : تغییرات تنش‌های پراکندگی شبیه‌سازی شده در امتداد طول بدون بعد کanal رزوفسکی
۱۶۲	شکل(۱۹-۴) : منحنی‌های مختلف برای بیان ژئومتری پیچان‌رود
۱۶۳	شکل(۲۰-۴) : شبکه‌بندی کanal sine-generated
۱۶۴	شکل(۲۱-۴) : شبکه‌بندی کanal sine-generated در محدوده تاج مثبت
۱۶۵	شکل(۲۲-۴) : بردارهای سرعت متوسط عمقی
۱۶۶	شکل(۲۳-۴) : بردارهای سرعت متوسط عمقی با استفاده از عبارات پراکندگی
۱۶۷	شکل(۲۴-۴) : خطوط هم تراز و سایه‌ای عمق آب در کanal sine-generated
۱۶۸	شکل(۲۵-۴) : تراز سطح آب در مجاورت دیواره‌های کanal sine-generated
۱۶۹	شکل(۲۶-۴) : ژئومتری کanal
۱۷۰	شکل(۲۷-۴) : نمودار سایه‌ای و خطوط هم‌تراز سطح آب شبیه‌سازی شده
۱۷۱	شکل(۲۸-۴) : پروفیل سه‌بعدی شبیه‌سازی شده تراز سطح آب در کanal
۱۷۲	شکل(۲۹-۴) : ثیب عرضی سطح آب شبیه‌سازی شده
۱۷۳	شکل(۳۰-۴) : پروفیل طولی سطح آب شبیه‌سازی شده در مجاورت دیواره خارجی و داخلی خم
۱۷۴	شکل(۳۱-۴) : بردارهای سرعت شبیه‌سازی شده در خم
۱۷۵	شکل(۳۲-۴) : بردارهای سرعت شبیه‌سازی شده (الف) قبل از خم (ب) در ابتدای خم
۱۷۶	شکل(۳۳-۴) : بردارهای سرعت عرضی شبیه‌سازی شده جریان ثانویه و مسیر چرخش جریان در مقاطع مختلف